

## Упругие модели дефектов в двумерных кристаллах

© А.Л. Колесникова<sup>1,2</sup>, Т.С. Орлова<sup>2,3</sup>, I. Hussainova<sup>4</sup>, А.Е. Романов<sup>2,3</sup>

<sup>1</sup> Институт проблем машиноведения РАН,  
Санкт-Петербург, Россия

<sup>2</sup> Санкт-Петербургский национальный исследовательский университет информационных технологий, механики и оптики,  
Санкт-Петербург, Россия

<sup>3</sup> Физико-технический институт им. А.Ф. Иоффе РАН,  
Санкт-Петербург, Россия

<sup>4</sup> Tallinn University of Technology,  
Tallinn, Estonia

E-mail: aer@mail.ioffe.ru

(Поступила в Редакцию 17 июня 2014 г.)

В рамках континуальной механики представлены упругие модели дефектов в двумерных (2D) кристаллах. Основой моделей является классификация дефектов, опирающаяся на размерность области задания их собственных дисторсий, т.е. искажений решетки, связанных с процессом образования дефектов. Впервые рассчитано упругое поле бесконечно малой дислокационной петли в пленке. Представлены поля центра дилатации, дислокации, дисклинации и кругового включения в плоских двумерных упругих средах: нанопленках и графенах. Проведено сравнение упругих полей дефектов в 2D- и 3D-кристаллах.

Работа выполнена при поддержке фонда Archimedes (грант AR12133 (NanoCom)) и РФФИ (грант № 14-03-00496\_a).

### 1. Введение

В нашем исследовании двумерные кристаллы — это пленки, толщинами которых можно пренебречь в конкретной поставленной задаче. Среди них можно выделить однослойные кристаллиты [1], графены — кристаллические углеродные пленки одноатомной толщины [1,2], фуллерены — углеродные оболочки в форме выпуклых замкнутых многогранников [3,4] — и биомембраны [5,6]. С точки зрения континуальной механики такие объекты представляют собой двумерную (2D) упругую среду или оболочку. За пределами рассмотрения остаются неупругие и непленочные физические объекты, образующие двумерные периодические структуры, такие как жидкие кристаллы [7,8], упорядоченные ансамбли вихревых нитей Абрикосова в сверхпроводниках второго рода [9] и структурированные комплексы магнитных моментов в ферромагнетиках [8].

В результате механических, термических, радиационных и химических воздействий, а также на стадии изготовления пленки, подобно объемным телам, способны деформироваться и испытывать локальные превращения. Особенной чертой 2D-среды является свойство приобретать ненулевую кривизну. Таким способом пленка реагирует на внешние воздействия или на появление в ней дефектов [10–12]. Уточним, что в качестве дефектов мы не рассматриваем неоднородности, т.е. области с другими упругими модулями, и пустоты, которые самостоятельно не являются источниками упругих полей, а лишь влияют на их перераспределение. Дефекты — это внутренние источники искажения (дисторсии) среды (континуума), которые приводят к генерации упругих

полей в ней. При наличии кристаллического порядка мы говорим о дефектах в кристаллах.

Важную роль дефектов в двумерных кристаллах можно продемонстрировать на примере графенов: степень и даже тип (электронная или дырочная) проводимости в графене зависят от дефектной конфигурации границ зерен [12–14]. Дефектная конфигурация определяет упругие поля и энергии этих границ, а также степень отклонения их состояния от равновесного [15]. Можно рассматривать границу зерен в графенах как специфический дефект их строения.

Целью настоящей работы является теоретическое изучение дефектов упругой 2D-среды. На основе представленной классификации дефектов сделан расчет упругих полей бесконечно малой дислокационной петли, центра дилатации, дислокации, клиновой дисклинации и включения в пленках. Поля отдельных дефектов позволяют рассчитать энергии взаимодействия между дефектами и энергии ансамблей дефектов, например границ зерен [15]. Проведено сравнение полей дефектов в 2D- и 3D-средах. Подчеркнуто, что упругое поле дуосной дилатационной нити, краевой дислокации и других дефектов в 2D-среде совпадает с полями аналогичных дефектов в 3D-пластине при устремлении толщины последней к нулю.

### 2. Классификация внутренних источников упругих искажений в двумерном континууме

Для создания математических моделей реальных физических дефектов кристаллической решетки (точечных

дефектов, дислокаций, включений) применим метод собственных дисторсий (см., например, [16,17]). В рамках метода источник упругих искажений среды можно задать с помощью тензора собственной дисторсии. Собственная дисторсия определяет способ задания дефекта и область, где этот способ реализуется.

Процесс задания дефекта с помощью собственной дисторсии (деформации) впервые предложил Эшелби для включений [18]. Процедура Эшелби выглядит так: в материале делается разрез по поверхности, ограничивающей некоторый объем, после этого материал из объема вынимается и пластически деформируется, далее к этому деформированному объему прикладываются силы для того, чтобы вставить его назад точно по месту выреза, затем поверхности разреза склеиваются и силы снимаются. При этом аппарат для нахождения упругих полей дефекта по заданной собственной дисторсии хорошо разработан [16,17].

Мы можем применить процедуру Эшелби к областям разной размерности и классифицировать дефекты в упругой среде на основании размерности  $n$ -области задания их собственной дисторсии. Обозначим собственную дисторсию как  ${}^{m|n}\beta_{ij}^*$ , где  $m$  — размерность среды. Очевидно, что  $n \leq m$ . По такому „размерному принципу“ дефекты в 3D-среде подразделяются на четыре типа [19], а в 2D-среде — на три (см. рисунок).

2.1. Нуль-мерные (точечные) дефекты ( $n = 0$ ). Определим бесконечно малую дислокационную петлю, которая является элементарным нуль-мерным дефектом в 3D- и 2D-средах [19]. Впервые бесконечно малые дислокационные петли в объемном упругом теле рассчитал Кроупа [20]. Дисторсия бесконечно малой дислокационной петли в 3D-среде может быть записана следующим образом [19]:

$${}^{3|0}\beta_{ij}^* = -b_j s_i \delta(\mathbf{R} - \mathbf{R}_0), \quad i, j = x, y, z, \quad (1)$$

где  $b_j$  — вектор Бюргера дислокации, помещенной в точку  $\mathbf{R}_0$ ,  $s_i$  — площадь петли,  $\delta(\mathbf{R} - \mathbf{R}_0)$  — трехмерная дельта-функция Дирака, которая связана с одномерными дельта-функциями равенством  $\delta(\mathbf{R} - \mathbf{R}_0) = \delta(x - x_0)\delta(y - y_0)\delta(z - z_0)$ .

В пленке, залегающей в координатной плоскости  $XOY$ , собственная дисторсия бесконечно малой дислокационной петли примет вид

$${}^{2|0}\beta_{ij}^* = -b_j l_i \delta(\mathbf{r} - \mathbf{r}_0), \quad i, j = x, y. \quad (2)$$

Здесь  $b_j$  — вектор Бюргера дислокации;  $\mathbf{r}_0$  — координата петли на плоскости  $XOY$ ,  $l_i$  — отрезок с нормалью  $\mathbf{n}_i$ , являющийся аналогом площадки петли для дислокации в 3D-среде (см. (1)). Двумерная дельта-функция Дирака задана соотношением  $\delta(\mathbf{r} - \mathbf{r}_0) = \delta(x - x_0)\delta(y - y_0)$ . По аналогии с определением дислокационных петель в 3D-среде будем считать, что если вектор  $\mathbf{b}$  направлен вдоль нормали  $\mathbf{n}_i$ , то бесконечно малая петля призматическая; если вектор  $\mathbf{b}$  лежит вдоль линии разреза, то бесконечно малая петля — петля скольжения.

Две взаимно перпендикулярные призматические петли при условии равенства величины вектора Бюргера образуют дилатационный центр со следующей дисторсией:

$${}^{2|0}\beta_{ii}^* = bl\delta(\mathbf{r} - \mathbf{r}_0) = \frac{1}{2}\Delta s\delta(\mathbf{r} - \mathbf{r}_0), \quad i = x, y. \quad (3)$$

Такой центр является упругой моделью примесного атома, атома замещения или вакансии (см. рисунок, а). Если  $l$  — начальный линейный размер некоторой площадки  $s = l^2$ , то изменение линейного размера на величину  $\Delta l$  приведет к изменению площади на величину  $\Delta s = (l + \Delta l)^2 - l^2 \approx 2l\Delta l$ . Полагая, что  $b = \Delta l$ , получаем  $bl = \frac{1}{2}\Delta s$  и последнее равенство в формуле (3).

Известно, что в упругом объеме дилатационный равноосный центр обладает дисторсией [17]

$$\begin{aligned} {}^{3|0}\beta_{xx}^* &= {}^{3|0}\beta_{yy}^* = {}^{3|0}\beta_{zz}^* = bs\delta(\mathbf{R} - \mathbf{R}_0) \\ &= \frac{1}{3}\Delta V\delta(\mathbf{R} - \mathbf{R}_0). \end{aligned} \quad (4)$$

Здесь  $\Delta V$  — изменение объема в точке локализации дефекта.

Отметим, что дисторсия (3) равна дисторсии дилатационной линии в 3D-среде, у которой отсутствует компонента  ${}^{3|1}\beta_{zz}^*$  [19].

При формальном подходе собственную дисторсию точечного дефекта в пленке можно записать в виде

$${}^{2|0}\beta_{ij}^* = \beta_{ij}^* s \delta(\mathbf{r} - \mathbf{r}_0), \quad i, j = x, y, \quad (5)$$

где  $\beta_{ij}^*$  — пластическая дисторсия малой площадки  $s$  без учета места ее задания в среде.

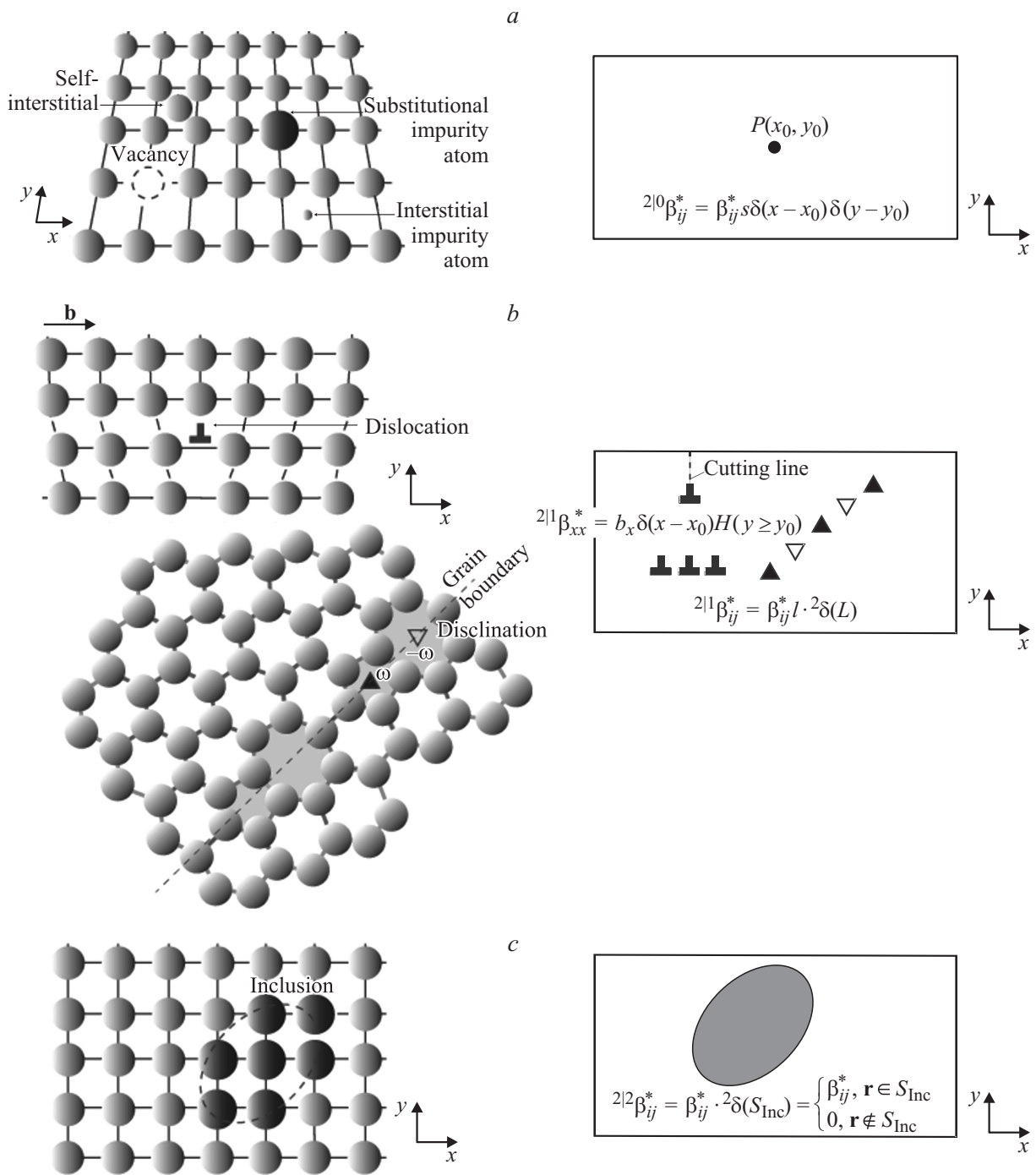
Увеличение размерности области задания дефекта  $\Omega_0 \rightarrow \Omega_1$  ( $\Omega_1 \equiv L$ ) приводит к одномерному дефекту.

2.2. Одномерные дефекты ( $n = 1$ ). В рамках выбранной классификации собственная дисторсия одномерного дефекта в 2D-среде примет вид

$${}^{2|1}\beta_{ij}^* = \beta_{ij}^* l^2 \delta(L), \quad (6)$$

где  $\beta_{ij}^*$  — пластическая дисторсия линии  $L$ ,  $l$  — линейный множитель,  ${}^2\delta(L)$  — дельта-функция на линии в 2D-среде, что подчеркнуто левым верхним индексом 2. Например, для отрезка  $[y_1, y_2]$ , имеющего координату  $x_0$ ,  ${}^2\delta(L) = \delta(x - x_0)H(y_1 \leq y \leq y_2)$ , где  $H(y_1 \leq y \leq y_2)$  — функция Хевисайда.

Одномерные дефекты — это аналоги дислокации Сомилианы [21–23] и дислокации и дисклинации Вольтерры в упругой 3D-среде (см. рисунок, б). Отрезок, на котором задана дисторсия, — это аналог площадки, на которой задана собственная дисторсия дислокационно-дисклинационной петли в 3D-среде. Линия сингулярности дислокации в 3D-среде перерождается в точку сингулярности дислокации в 2D-среде. Уточним, что в классификации дефектов в 3D-среде, опирающейся на размерность области задания их собственной дисторсии, дислокации Сомилианы — это



Дефекты в 2D-кристаллах и их упругие модели. *a* — нуль-мерный дефект (вакансия, межузельный атом, примесный атом замещения), *b* — одномерные дефекты (дислокация, дисклинация, дислокационное скопление, граница разориентации), *c* — двумерное включение. Основная характеристика модели дефекта — собственная дисторсия  ${}^{2|n}\beta_{ij}^*$ , где  $n = 0, 1, 2$  — размерность области задания дисторсии,  $i, j = x, y$ . Представлены 2D-кристаллы с квадратной и гексагональной решетками.

поверхностные дефекты, а дислокации и дисклинации Вольтерры — это вырожденные поверхностные дефекты, имеющие особенности упругих полей на линии, но не на поверхности [17,24,25]. В 2D-среде дислокации и дисклинации Вольтерры — это вырожденные линейные дефекты, имеющие сингулярности упругих полей в точке.

Приведем дисторсию (6) к виду, обычному для дислокаций Вольтерры [26],

$${}^{2|1}\beta_{ij}^* = [u_j]^2 \delta_i(L) = -b_j^2 \delta_i(L), \quad i, j = x, y. \quad (7)$$

Здесь  ${}^2\delta_i(L) = ]^2\delta(L) \mathbf{n}_i$ ,  $\mathbf{n}_i$  — нормаль к линии  $L$ ,  $u_j$  — скачок смещения на линии разреза при введении дислокации. Линия задания собственной дисторсии дефекта  $L$

в 2D-среде играет роль площадки, где задана дисторсия дефекта, в 3D-среде.

Линейный дефект можно получить, непрерывно рас- пределив точечные дефекты вдоль некоторой линии с заданной линейной плотностью  $\rho_L$ . В том случае, если  $\beta_{ij}^*$  в формуле (6) не зависит от координаты распределяемых точечных дефектов, а линейная плотность постоянна, получаем простую формулу

$${}^{2|1}\beta_{ij}^* = \beta_{ij}^* s \rho_L^* \delta(L). \quad (8)$$

Здесь очевидно, что замена  $s\rho_L = l$  преобразует формулу (8) в (6).

С дальнейшим увеличением размерности области задания дисторсии  $\Omega_1 \rightarrow \Omega_2$  ( $\Omega_2 \equiv S$ ) мы переходим к двумерным дефектам.

2.3. Двумерные дефекты ( $n = 2$ ). Областью задания собственной дисторсии двумерных дефектов является часть поверхности. В пленке двумерные дефекты — это аналоги включения в 3D-среде (см. рисунок, с).

В соответствии с (2) и (6) для дисторсии двумерного дефекта общего вида справедливо выражение

$${}^{2|2}\beta_{ij}^* = \beta_{ij}^* {}^2\delta(S_{\text{Inc}}). \quad (9)$$

В 2D-среде дельта-функция

$${}^2\delta(\Omega_2) = {}^2\delta(S_{\text{Inc}}) = \begin{cases} 1, & \mathbf{r} \in S_{\text{Inc}}, \\ 0, & \mathbf{r} \notin S_{\text{Inc}}. \end{cases}$$

Отметим, что в 3D-среде дельта-функция

$${}^3\delta(\Omega_3) = {}^3\delta(V_{\text{Inc}}) = \begin{cases} 1, & \mathbf{R} \in V_{\text{Inc}}, \\ 0, & \mathbf{R} \notin V_{\text{Inc}}. \end{cases}$$

Мы также можем получить двумерный дефект, распределяя точечные дефекты по поверхности  $S$ .

Отметим, что в 2D-континууме дефекты меньшей размерности, чем 2, обладают дисторсиями с произвольными размерными множителями. У точечного дефекта это  $s$ , у линии —  $l$ . Этим множителям можно придать смысл размера дефекта до пластической деформации, (см. подробно в [19]).

### 3. Упругие поля дефектов в плоских 2D-средах

На основании собственной дисторсии  ${}^{2|m}\beta_{ij}^*$  (или собственной деформации  ${}^{2|m}\varepsilon_{ij}^*$ ), функции Грина  ${}^2G_{ij}$  упругой среды и ее упругих модулей  $C_{jlmn}$  однозначно определяется поле полных смещений дефекта, а также его упругие деформации и напряжения [16,17]. В 2D-континууме поле полных смещений дефекта находится из соотношения [16]

$${}^2u_i^*(\mathbf{r}) = - \int_S C_{jlmn} {}^{2|m}\varepsilon_{kn}^*(\mathbf{r}') {}^2G_{ij,l}(|\mathbf{r} - \mathbf{r}'|) dS', \quad (10)$$

где левый верхний индекс 2 указывает размерность среды, производная  ${}^2G_{ij}(|\mathbf{r} - \mathbf{r}'|)$  берется по нештрыхован-

ной переменной,  $S$  — площадь пленки, а суммирование ведется по повторяющимся индексам.

Для изотропной упругой среды функция Грина  ${}^2G_{ij}(|\mathbf{r} - \mathbf{r}'|)$  и тензор  $C_{jlmn}$  имеют вид [16]

$${}^2G_{ij}(|\mathbf{r} - \mathbf{r}'|) = \frac{1}{8\pi(1-\nu)G} \times \left\{ \frac{(x_i - x'_i)(x_j - x'_j)}{\bar{r}^2} - (3 - 4\nu)\delta_{ij} \ln \bar{r} \right\}, \quad (11a)$$

$$C_{jlmn} = \frac{2G\nu}{1-2\nu} \delta_{jl}\delta_{kn} + G(\delta_{lk}\delta_{jn} + \delta_{ln}\delta_{jk}), \quad (11b)$$

где  $\bar{r}^2 = (x - x')^2 + (y - y')^2$ ,  $x_i$  и  $x_j$  — это  $x$  или  $y$ ,  $\delta_{km}$  — символ Кронекера,  $G$  — модуль сдвига,  $\nu$  — коэффициент Пуассона.

Поскольку упругим пространством для нас является пленка  $XOY$  со свободными поверхностями, тензор напряжений в этом случае предполагает отсутствие всех компонент  $\sigma_{zj}$ . Таким образом, мы имеем дело с плоским напряженным состоянием, а значит, в функции Грина и в законе Гука модуль Юнга  $E$  должен быть заменен соотношением  $E(1 + 2\nu)/(1 + \nu)^2$ , а коэффициент Пуассона  $\nu$  — выражением  $\nu/(1 + \nu)$  [16]. Поскольку модуль сдвига  $G = E/[2(1 + \nu)]$ , процедура замены на него не повлияет. Итак, для того чтобы получить упругие поля, отвечающие пленке со свободными поверхностями, в функции Грина (11a), упругих константах (11b) и законе Гука нужно сделать замену  $\nu$  на  $\nu/(1 + \nu)$ . При переходе 3D→2D поменяется единица измерения модуля Юнга и модуля сдвига с  $N/m^2$  на  $N/m$ .

С помощью соотношений (11) определим поле бесконечно малой дислокационной призматической петли и дилатационного центра.

3.1. Бесконечно малая дислокационная призматическая петля и центр дилатации в пленке. Рассмотрим бесконечно малую призматическую петлю (Infinitesimal Prismatic Dislocation Loop — IPDL), расположенную в начале координат и имеющую собственную дисторсию

$${}^{2|0}\beta_{xx}^{\text{IPDL}} = b_x l \delta(x) \delta(y). \quad (12)$$

Поле полных смещений  ${}^2u_i^{\text{IPDL}}(x, y)$  петли, рассчитанное по формулам (10), (11) с учетом замены коэффициента Пуассона (см. пояснения к (11)), имеет вид

$${}^2u_x^{\text{IPDL}} = \frac{b_x l x}{4\pi r^4} [-y^2(\nu - 1) + x^2(3 + \nu)], \quad (13a)$$

$${}^2u_y^{\text{IPDL}} = \frac{b_x l y}{4\pi r^4} [y^2(\nu - 1) + x^2(1 + 3\nu)], \quad (13b)$$

где  $r^2 = x^2 + y^2$ .

Смещения позволяют рассчитать поле упругих деформаций  $\varepsilon_{ij} = \frac{1}{2}(u_{j,i} + u_{i,j})$ , где  $u_j$  — упругие смещения, и затем по закону Гука, в котором также сделаны соответствующие замены (см. пояснения к (11)), находятся

напряжения

$${}^2\sigma_{xx}^{\text{IPDL}} = -\frac{G(1+\nu)b_x l}{2\pi r^6} [3x^4 - 6x^2y^2 - y^4], \quad (14a)$$

$${}^2\sigma_{yy}^{\text{IPDL}} = \frac{G(1+\nu)b_x l}{2\pi r^6} [x^4 - 6x^2y^2 + y^4], \quad (14b)$$

$${}^2\sigma_{xy}^{\text{IPDL}} = -\frac{G(1+\nu)b_x l}{\pi r^6} xy [3x^2 - y^2]. \quad (14c)$$

Определим поле центра дилатации с дисторсией

$${}^{2|0}\beta_{xx}^{*\Delta P} = {}^{2|0}\beta_{yy}^{*\Delta P} = \varepsilon s \delta(x)\delta(y). \quad (15)$$

Здесь  $\Delta P$  — обозначение центра дилатации.

Поле смещений  ${}^2u_j^{\Delta P}$  и поле напряжений  ${}^2\sigma_{ij}^{\Delta P}$  центра дилатации имеют вид

$${}^2u_x^{\Delta P} = \frac{(1+\nu)\varepsilon s}{2\pi} \frac{x}{r^2}, \quad (16a)$$

$${}^2u_y^{\Delta P} = \frac{(1+\nu)\varepsilon s}{2\pi} \frac{y}{r^2}, \quad (16b)$$

$${}^2\sigma_{xx}^{\Delta P} = -\frac{G(1+\nu)\varepsilon s}{\pi} \frac{(x^2 - y^2)}{r^4}, \quad (17a)$$

$${}^2\sigma_{yy}^{\Delta P} = \frac{G(1+\nu)\varepsilon s}{\pi} \frac{(x^2 - y^2)}{r^4}, \quad (17b)$$

$${}^2\sigma_{xy}^{\Delta P} = -\frac{2G(1+\nu)\varepsilon s}{\pi} \frac{xy}{r^4}, \quad (17c)$$

$${}^2\sigma_{xx}^{\Delta P} + {}^2\sigma_{yy}^{\Delta P} = 0. \quad (17d)$$

Своей функциональной частью поле (16), (17) совпадает с полем дилатационной линии в 3D-среде [19].

После замены  $\varepsilon s = b_x l$  из формул (16), (17) видно, что центр дилатации в 2D-среде есть сумма двух взаимно перпендикулярных бесконечно малых призматических петель (13), (14) так же, как центр дилатации в 3D-среде есть сумма трех взаимно перпендикулярных бесконечно малых призматических петель [17,19].

Важно заметить, что поле двуосной дилатационной линии с собственной дисторсией  ${}^{3|1}\beta_{xx}^{*L} = {}^{3|1}\beta_{yy}^{*L} = \varepsilon s \delta(x)\delta(y)$  в 3D-среде при замене в нем  $\nu$  на  $\nu/(1+\nu)$  в точности совпадает с полем (16), (17).

3.2. Дислокация и клиновья дисклинация в пленке. Пусть для определенности дисторсия дислокации определена соотношением (см. рисунок, b)

$${}^{2|1}\beta_{xx}^{*\perp} = b_x H(y \geq 0)\delta(x), \quad (18)$$

где функция Хевисайда

$$H(y \geq 0) = \begin{cases} 1, & y \geq 0, \\ 0, & y < 0. \end{cases}$$

Такую дислокацию можно получить, распределив бесконечно малые дислокационные петли (12) вдоль оси OY:

$${}^2u_i^{\perp} = \int_0^{\infty} {}^2u_i^{\text{IPDL}}(x, y - y_0)\rho dy_0, \quad (19a)$$

$${}^2\sigma_{ij}^{\perp} = \int_0^{\infty} {}^2\sigma_{ij}^{\text{IPDL}}(x, y - y_0)\rho dy_0, \quad (19b)$$

где  $\rho$  — линейная плотность распределения точечных дефектов.

Обозначив  $b_x l \rho = b_x$ , из (19) получаем

$${}^2u_x^{\perp} = \frac{b_x}{4\pi} \left( 2\arctan\left(\frac{y}{x}\right) + \frac{(1+\nu)xy}{r^2} \right), \quad (20a)$$

$${}^2u_y^{\perp} = -\frac{b_x}{4\pi} \left( (1-\nu)\ln r + \frac{(1+\nu)x^2}{r^2} \right), \quad (20b)$$

$${}^2\sigma_{xx}^{\perp} = -\frac{G(1+\nu)b_x}{2\pi} \left( \frac{y}{r^2} + 2\frac{x^2y}{r^4} \right), \quad (21a)$$

$${}^2\sigma_{yy}^{\perp} = -\frac{G(1+\nu)b_x}{2\pi} \left( \frac{y}{r^2} - 2\frac{x^2y}{r^4} \right), \quad (21b)$$

$${}^2\sigma_{xy}^{\perp} = \frac{G(1+\nu)b_x}{2\pi} \left( \frac{x}{r^2} - 2\frac{xy^2}{r^4} \right). \quad (21c)$$

В работах [22,27] представлено решение задачи о краевой дислокации, перпендикулярной поверхностям пластины конечной толщины. В частности, в [22] показано, что при устремлении толщины пластины к нулю упругое поле, генерируемое краевой дислокацией, становится плосконапряженным и совпадает с полем (21).

Основным отличием поля дислокации (20), (21) от поля дислокации в бесконечной 3D-среде является отсутствие компоненты  $\sigma_{zz}^{\perp}$ . Остальные компоненты дислокации в 2D- и 3D-средах совпадают с точностью до коэффициентов, связанных с  $\nu$ . Таким образом, поле дислокации в пленке можно получить путем замены  $\nu$  на  $\nu/(1+\nu)$  в формулах, описывающих поле дислокации в объеме.

Воспользуемся этим приемом и на основании напряжений клиновья дисклинации с вектором Франка  $\omega = \omega e_z$  в 3D-среде [17] запишем напряжения  ${}^2\sigma_{ij}^{\omega}$  клиновья дисклинации, находящейся в пленке:

$${}^2\sigma_{xx}^{\omega} = \frac{G(1+\nu)\omega}{2\pi} \left( \ln r + \frac{y^2}{r^2} + \frac{\nu}{1-\nu} \right), \quad (22a)$$

$${}^2\sigma_{yy}^{\omega} = \frac{G(1+\nu)\omega}{2\pi} \left( \ln r + \frac{x^2}{r^2} + \frac{\nu}{1-\nu} \right), \quad (22b)$$

$${}^2\sigma_{xy}^{\omega} = \frac{G(1+\nu)\omega}{2\pi} \frac{xy}{r^2}. \quad (22c)$$

Заметим, что дисклинационный диполь является характерным элементом границ зерен в графене (см. рисунок, b), см., например, [11–13]. С помощью рядов дисклинаций и их упругих полей удалось рассчитать энергии границ зерен в графене, не прибегая к машинному моделированию [15].

Очевидно, что для дефектов, создающих плоскую деформацию в 3D-среде, существует подобный дефект меньшей размерности в пленке. При этом поля

дефектов-аналогов равны при соответствующей замене упругих модулей.

3.3. Дилатационное включение в пленке. Пример дилатационного включения в 2D-среде показан на рисунке, с. Зная поле дуосного цилиндрического включения в 3D-среде [28], имеющего дисторсию

$${}^3\beta_{xx}^* = {}^3\beta_{yy}^* = \varepsilon^3 \delta(V_{\text{Inc}}) = \begin{cases} \varepsilon, & R \in V_{\text{Inc}}, \\ 0, & R \notin V_{\text{Inc}}, \end{cases}$$

можно записать поле кругового включения в 2D-среде с дисторсией

$${}^2\beta_{xx}^* = {}^2\beta_{yy}^* = \varepsilon^3 \delta(S_{\text{Inc}}) = \begin{cases} \varepsilon, & R \in S_{\text{Inc}}, \\ 0, & R \notin S_{\text{Inc}}, \end{cases}$$

заменяв  $\nu$  на  $\nu/(1+\nu)$  и исключив  ${}^3\sigma_{zz}^{\text{Inc}}$ :

$${}^2\sigma_{xx}^{\text{Inc}} = G(1+\nu)\varepsilon a^2 \begin{cases} -\frac{(x^2-y^2)}{r^4}, & r > a, \\ \frac{2}{a^2}, & r \leq a, \end{cases} \quad (23a)$$

$${}^2\sigma_{yy}^{\text{Inc}} = G(1+\nu)\varepsilon a^2 \begin{cases} \frac{(x^2-y^2)}{r^4}, & r > a, \\ \frac{2}{a^2}, & r \leq a, \end{cases} \quad (23b)$$

$${}^2\sigma_{xy}^{\text{Inc}} = G(1+\nu)\varepsilon a^2 \begin{cases} -\frac{2xy}{r^4}, & r > a, \\ 0, & r \leq a. \end{cases} \quad (23c)$$

Здесь  $a$  — радиус включения.

Если ввести радиус ядра для дуосного дилатационного центра  $a$  и определить коэффициент  $s$  в (17) как  $\pi a^2$ , то напряжения дилатационного центра совпадут с напряжениями, генерируемыми круговым дуосным включением в окружающей матрице  $r > a$  (23).

## 4. Заключение

В работе представлены упругие модели дефектов в плоских 2D-кристаллах. Показана иерархия дефектов упругого 2D-континуума, основанная на размерности области задания их собственных дисторсий. С помощью собственной дисторсии и функции Грина рассчитано упругое поле бесконечно малой дислокационной петли и дилатационного центра в пленке. Обнаружено, что дефекты, создающие плоскую деформацию в 3D-среде, имеют аналоги в 2D-среде. Выражения для полей дефектов в изотропной пленке получаются путем замены коэффициентов, связанных с упругими модулями, и обнуления компоненты напряжений  ${}^3\sigma_{zz}^{\text{Inc}}$  в формулах для полей дефектов-аналогов в объеме. На этой основе получены поля дислокации, клиновой дисклинации и дилатационного включения в пленке.

Важной проблемой остается определение упругого поведения дефектов в изогнутых 2D-кристаллах, в частности в сферических оболочках. В этом случае эффективным способом расчета полей дефекта, по-видимому, будет следующий: решается граничная задача о дефекте

в сферическом слое конечной толщины, а затем при устремлении толщины слоя к нулю находятся поля дефекта. Ранее было показано, что этот подход применим для плоских пленок [22].

## Список литературы

- [1] K.S. Novoselov, D. Jiang, F. Schedin, T.J. Booth, V.V. Khotkevich, S.V. Morozov, A.K. Geim. Proc. Nat. Acad. Sci. USA **102**, 10 451 (2005).
- [2] M.I. Katsnelson. Graphene: carbon in two dimensions. Cambridge University Press, NY (2012). 366 p.
- [3] H.W. Kroto, J.R. Heath, S.C. O'Brien, R.F. Curl, R.E. Smalley. Nature **318**, 162 (1985).
- [4] J. Baggott. Perfect symmetry: the accidental discovery of buckminsterfullerene. Oxford University Press (1995). 328 p.
- [5] W.F. Harris, L.E. Scriven. Nature **228**, 827 (1970).
- [6] F.R.N. Nabarro, W.F. Harris. Nature **232**, 423 (1971).
- [7] M. Kleman. Points, lines and walls. John Wiley and Sons, NY (1983).
- [8] M. Kleman, J. Friedel. Rev Mod. Phys. **80**, 61 (2008).
- [9] H. Träuble, U. Essmann. J. Appl. Phys. **39**, 9, 4052 (1968).
- [10] А.Л. Колесникова, А.Е. Романов. ФТТ **40**, 6, 1178 (1998).
- [11] B.I. Yakobson, F. Ding. ACS Nano **5**, 1569 (2011).
- [12] J. Zhang, J. Zhao. Carbon **55**, 151 (2013).
- [13] O.V. Yazyev. Solid State Commun. **152**, 1431 (2012).
- [14] L. Tapaszto, P. Nemes-Incze, G. Dobrik, K. Yoo Jae, C. Hwang, L.P. Biro. Appl. Phys. Lett. **100**, 053 114 (2012).
- [15] A.E. Romanov, A.L. Kolesnikova, T.S. Orlova, I. Hussainova, V.E. Bougrov, R.Z. Valiev. Carbon, in press (2014).
- [16] T. Mura. Micromechanics of defects in solids. Martinus Nijhoff Publ., Dordrecht–Boston–Lancaster (1987). 587 p.
- [17] Р. Де Вит. Континуальная теория дисклинаций. Мир, М. (1977). 208 с.
- [18] J.D. Eshelby. Proc. Roy. Soc. of London A **241**, 376 (1957).
- [19] А.Л. Колесникова, Р.М. Сорока, А.Е. Романов. Физика и механика материалов **17**, 1, 71 (2013).
- [20] F. Kroupa. In: Theory of crystal defects. Proc. of the Summer School. Academia — Publ. House of the Czechoslovak Academy of Sciences, Prague (1966). P. 276.
- [21] C. Somigliana. Rend. Acc. Lincei. **24**, 655 (1915).
- [22] А.Л. Колесникова, А.Е. Романов. Круговые дислокационно-дисклинационные петли и их применение к решению граничных задач теории дефектов. Препринт ФТИ № 1019. Л. (1986). 62 с.
- [23] А.Л. Колесникова, А.Е. Романов. ФТТ **45**, 9, 1626 (2003).
- [24] V. Volterra. Ann. Sci. École Norm. Supér. (Paris) **24**, 4, 401 (1907).
- [25] J.P. Hirth, J. Lothe. Theory of dislocations. John Wiley and Sons, NY — Chichester–Brisbane–Toronto–Singapore (1982). 857 p.
- [26] T. Mura. In: Advanced in materials research / Ed. H. Herman. Interscience Publ., NY (1968). V. 3. P. 1.
- [27] А.Л. Колесникова, А.Е. Романов. Письма в ЖТФ **13**, 11, 656 (1987).
- [28] А.Л. Колесникова, А.Е. Романов. Дислокационные модели включений (1990) [не опубликовано].